

새로운 선박평형수 전처리 장치 활용가능성 : 분쇄장치

차형곤*, 현봉길*, 안영규*, 이우진*, 배미경*

*한국해양과학기술원 선박평형수연구센터

e-mail:chahg@kiost.ac.kr

Possibility of using New Ballast Water Pre-treatment System : Grinding Device

Hyung-Gon Cha*, Bonggil Hyun*, Yeongkyu An*, Woojin Lee*, Mikyung Bae*

*Korea Institute of Ocean Science&Technology

요약

선박평형수를 관리 및 통제하기 위해 모든 선박은 2024년까지 선박평형수관리시스템(BWMS)을 설치 완료해야 한다. BWMS에 적용된 기술 중에 메인 처리장치의 효율을 높이거나 큰 부유물질 및 생물을 제거하기 위해 현재까지 개발된 BWMS 중 약 70%가 전처리장치로 여과장치를 이용하고 있다. 그러나 여과장치는 막힘 현상에 따른 유지 보수비용이 발생할 뿐만 아니라 중국의 양자강과 같은 부유물질의 농도가 높은 해역에서는 필터 막힘 현상으로 인해 사용이 불가능 하기 때문에 이를 대체할 수 있는 기술 개발이 시급한 실정이다. 본 연구에서는 선박평형수 전처리 여과장치를 대체하기 위해 부유물질 분쇄장치의 활용가능성을 검토 해보았다. IMO Guideline G8 기준($\geq 50 \mu\text{m}$ 크기 생물 조건)에 준한 시험 수를 가지고 $5 \text{ m}^3 \text{ h}^{-1}$ 규모 모의실험을 진행해서 $\geq 50 \mu\text{m}$ 크기 생물 제거 효율을 확인해 보았다. 또한, 분쇄장치 통과 전/후 입자크기 분포와 총부유물질 농도를 확인을 통해 분쇄장치의 고형물(Arizona Test Dust) 분쇄 능력도 확인하였다. $5 \text{ m}^3 \text{ h}^{-1}$ 규모 모의 실험에서 크기 $>110 \mu\text{m}$ 동물플랑크톤의 제거율은 100% 제거되었다. 반면, $\leq 110 \mu\text{m}$ 동물플랑크톤의 제거율은 87~90%으로 다소 낮았다. 분쇄장치 통과 후 고형물의 평균 입도 크기는 실험수 내 입자의 크기가 클수록 작아지는 경향을 나타내었다. 선박평형수 전처리 장치인 여과장치 대체 가능성에 대해서는 실제규모의 모의실험과 같은 추가적인 검증이 필요할 것으로 판단되지만, 본 연구 결과는 $\geq 50 \mu\text{m}$ 생물 그룹 제거를 위한 전처리 여과장치 대체 기술 개발의 중요 연구 자료로 활용 가능할 것으로 판단된다.

1. 서론

선박의 안전한 운항을 위해 사용되는 선박평형수는 박테리아, 미생물, 작은 무척추 동물 등 다양한 생물들과 부유물질을 포함한다. 이들의 운반 및 배출은 해양 생태계, 인간 건강, 수 산업 경제에 심대한 영향을 미치고 있다[1]. 이에 국제해사기 구(IMO)는 ‘Control and Management of Ships’ Ballast Water and Sediments’ 협약을 2004년에 제정하였다. 이 협약에 근거하여 모든 선박은 2024년 9월 8일까지 배출수 규정(D-2) 및 협약 규정 (D-3)에 준하는 선박평형수관리시스템 (Ballast Water Management System, BWMS)을 설치 해야 한다.

BWMS 배출수 규정(D-2)을 보면, 선박평형수 배출 시 $\geq 50 \mu\text{m}$ 크기 생물은 $<10 \text{ indiv. m}^{-3}$, $10 - 50 \mu\text{m}$ 크기 생물은 $<10 \text{ indiv. mL}^{-1}$, 독성 비브리오 콜레라는 $<1 \text{ cfu}$ (colony forming unit) 100 mL^{-1} , 대장균은 $<250 \text{ cfu}$ 100 mL^{-1} , 장내 구균은 $<100 \text{ cfu}$ 100 mL^{-1} 으로 생존해야 한다.

선박평형수 내 생물들을 제거하기 위해 BWMS에 적용된 주요기술로는 전기분해를 이용한 염소처리(Electrolysis -

Chlorination), 약품주입(NaDCC, NaOCl, ClO₂ 등), 오존 (O₃) 처리, UV 처리 기술과 함께 이를 혼합한 복합처리기술등이 있다. 그리고 대부분의 BWMS는 평형수를 통해 유입되는 크기가 큰 부유물질과 생물을 제거하고, BWMS의 처리 효율을 높이기 위해 여과 공정(Filtration process)을 적용한다. 여과장치에 이용되는 필터들은 wedge 또는 mesh 등의 재질을 사용하며, 공극 크기(pore size)는 $40 \mu\text{m}$ 혹은 $50 \mu\text{m}$ 가 주를 이룬다. 2019년 기준 기본 승인 및 최종승인을 받은 BWMS는 총 66 개이며 이들 중 전처리 장치로 여과장치를 이용한 BWMS는 46 개로 전체의 약 70%에 해당 한다[2].

하지만 여과장치를 장착한 선박이 중국에 위치한 장강 하구처럼 총부유물질(Total Suspended Solids, TSS) 농도가 매우 높게 유지되는 지역(23.2~577 mg L⁻¹, 174 ± 128 mg L⁻¹)[3]에서 선박평형수를 취수(uptake) 할 경우 고탁도 환경으로 인해 여과공정에서 필터의 공극이 막히는 현상이 빈번하게 발생하고 있으며, 지속적인 필터 청소 및 교체를 통해 많은 유지·보수 비용이 발생하고 있다. 따라서 BWMS 처리 효율 향상과 유지보수 비용 절감을 위한 새로운 전처리 장비

개발이 시급한 실정이다. 본 연구에서는 새롭게 개발된 분쇄장치를 이용해 $\geq 50 \mu\text{m}$ 크기 생물 제거 효과와 고형물의 분쇄 효과를 확인하여 BWMS 전처리 장치로서의 활용가능성을 검토하고자 한다.

2. 재료 및 방법

2.1 분쇄장치

분쇄장치는 큰 부유물질을 분쇄하는 고형물 전수통과 방식으로 흡이 있는 고정부와 구동부가 있으며 선박평형수가 분쇄장치를 통과하면서 생물 및 큰 부유물질이 공동, 전단, 충격을 통해 분쇄하게 된다.

2.2 생물 제거 효율 평가

모든 실험의 분쇄장치 생물 제거 평가는 $\geq 50 \mu\text{m}$ 크기 생물만 평가하였다. 제거율은 다음과 같이 계산 하였다.

$$\text{제거율}(\%) = (\text{실험수 생물수} - \text{처리장치 통과 후 살아있는 생물수}) / \text{실험수 생물수} \times 100$$

생물 사망 확인 및 사망 형태는 이미지 시스템을 갖춘 해부현미경을 이용해서 생사판별을 수행하였다.

2.3 모의 BWMS 실험

2018년 10월 3일부터 11월 9일까지 총 8회에 걸쳐 거제시 장목면 한국해양과학기술원 연구원부두에서 $5 \text{ m}^3 \text{ h}^{-1}$ 규모의 분쇄장치로 모의 BWMS 실험을 진행하였다. 생물은 망목 $45 \mu\text{m}$, $200 \mu\text{m}$ 의 두 종류 네트로 농축 채집하였다. 모의 평가에 사용된 실험수는 IMO Guideline G8 (혹은 BWMS Code) 조건에 따라 $\geq 50 \mu\text{m}$ 크기 생물의 개체수 ($\geq 100,000 \text{ indiv. m}^{-3}$) 및 종조성 (≥ 3 문 5종)을 충족 시킨 후 수행하였다. 잘 혼합된 실험수는 분쇄장치로 매 실험마다 $4.4\text{-}4.8 \text{ m}^3$ ($4.64 \pm 0.14 \text{ m}^3$)이 처리되었고 가동 시간은 50분 이상 진행하였다. 유량 및 분쇄장치에 걸리는 압력은 각각 약 $5 \text{ m}^3 \text{ h}^{-1}$, 약 1 kgf cm^{-2} 에서 진행하였다.

모든 실험 회차에서 실험수(10 L) 및 분쇄장치를 통과한 처리수(전량)는 망목 $32 \mu\text{m}$ 네트로 1 L 농축 후 생멸 제거율을 확인하였다. 전체 실험 중 6-8회차 실험은 가동 시간 내에서 일정한 생물 제거 효율 성능을 확인하기 위해 10분 간격으로 샘플링 및 분석하였다. 분쇄장치가 처리 할 수 생물의 최소 크기를 확인하기 위해 생물크기(짧은 축 기준)에 따른 제거율과 분쇄장치 통과 후 동물플랑크톤의 사망형태를 비교하였다 (전체 실험 중 8회차 실험).

2.4 고형물 분쇄 평가

2019년 04월 17일부터 04월 18일까지 총 3회에 걸쳐 거제시 장목면 한국해양과학기술원에서 $5 \text{ m}^3 \text{ h}^{-1}$ 규모의 분쇄장치로 고형물의 분쇄 능력을 알아보기 위한 모의 BWMS 실험을 진행하였다. 여과, 자동차 및 중장비 구성 요소를 테스트에 사용되는 3가지 크기의 ISO 12103-1 Arizona Test dust(Powder technology Inc. USA)를 해수 5 m^3 에 각각 $\geq 2 \text{ kg}$ 을 주입하였다. 사용된 Arizona Test dust는 A2 Fine test dust에서 A3 Medium test dust, A4 Coarse test dust로 갈수록 입자의 사이즈가 커지고 분포가 넓어지며 제조사가 제공한 각각의 Dust의 크기 및 분포 정보는 다음과 같다 (이하 각각 A2, A3, A4) [표 1].

[표 1.] 제조사에서 제공한 Arizona dust의 입자 크기 분포

Size (μm)	A2 Dust (% Less than)	A3 Dust (% Less than)	A4 Dust (% Less than)
0.97	4.5 - 5.5	2.0 - 2.4	0.74 - 0.83
1.38	8.0 - 9.5	3.8 - 4.4	1.8 - 2.1
2.75	21.3 - 23.3	10.3 - 11.1	5.5 - 6.3
5.5	39.5 - 42.5	22.1 - 23.2	11.5 - 12.5
11	57.0 - 59.5	42.3 - 43.6	21.0 - 23.0
22	73.5 - 76.0	62.5 - 64.5	36.0 - 38.5
44	89.5 - 91.5	82.0 - 83.5	58.0 - 60.0
88	97.9 - 98.9	94.7 - 96.0	85.0 - 86.5
124.5	99.0 - 100.0	97.2 - 98.6	93.0 - 94.0
176	100	99.0 - 100	97.2 - 98.2
248.9	-	-	99.0 - 100.0
352	-	-	100

실험은 약 50분간 진행되었으며 시료는 10분마다 4 L씩 총 5회 샘플링 후 혼합하였다. 실험수 및 처리수의 TSS 농도 측정 및 비교 하였다. 분쇄 처리 전/후 dust 입자크기(μm)를 비교하기 위해 실험수와 처리수 각 16 L를 원심분리기 Combi 514R (Hanil Inc.)를 이용하여 4000 rpm, 1시간 원심 분리 후 약 100 mL로 농축하였다. 농축된 시료는 X-선 자동입도 분석기인 Sedigraph 5000D (Micromeritics Inc.)를 이용하여 입도 분포를 확인하였다.

3. 결과

3.1 모의 BWMS 실험에서 생물 제거율

분쇄장치의 $\geq 50 \mu\text{m}$ 크기 생물 제거율은 총 8회의 실험 모두 처리수 전량을 관찰한 결과 $\geq 90\%$ 제거율 ($95.3 \pm 2.01\%$)을 나타내었다. 6-8회차 실험에서 10분 간격으로 샘플링 및 제거율을 관찰한 결과 제거율의 변동계수(coefficient of variation, CV)가 0.6% 미만으로 일정한 성능을 나타내었다. 전체 실험 중 8회차 실

험에서 생물 크기에 따른 제거율은 짧은 변 기준으로 50–70 μm(이매폐류 유생, 요각류 유생); 87%, 70–90 μm(요각류 미성숙체, 요각류 *Oithona spp.*, *harpacticoda* 성체, 다모류 유생); 99%, 90–110 μm(주로 따개비 유생); 90%, 110–150 μm, 150–200 μm, >200 μm(요각류 성체, 미충류, 야광충, 해파리 유생 등); 100% 사망하여 크기 및 형태에 따라 다른 제거율을 나타내었다 [표2].

[표 2] 소규모 모의 BWMS 실험(8회차)에서 동물플랑크톤 크기별 제거율

크기(μm) 구분 (짧은 변 기준)	크기별 대상생물	점유율(%)		제거율 (%)
		실험수	처리수	
50–70		22.1	37.5	87.0
70–90		31.8	9.0	99.0
90–110		25.1	53.3	90.0
110–150		17.3	0.1	100.0
150–200		2.6	0.0	100.0
>200		0.9	0.0	100.0

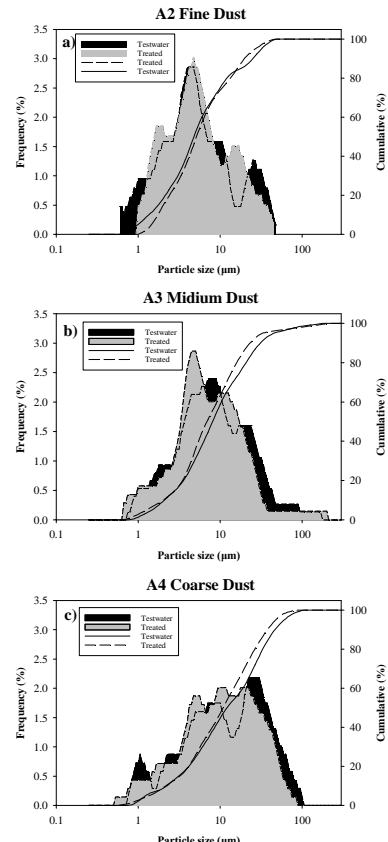
분쇄장치 통과 전/후 사망형태 비교 결과 대부분의 동물플랑크톤은 분쇄장치 통과 후 몸체가 절단된 형태로 사망하였다(8회차 실험). 특히, 크기 >110 μm 동물플랑크톤의 대부분을 차지한 요각류의 경우 몸체가 절단되거나 부속지가 탈락되는 형태가 보다 명확하였다. 실험수 내 상대적으로 크기가 작은 50–110 μm 동물플랑크톤에서 점유율이 높았던 요각류 유생, 이매폐류 유생, 따개비 유생의 경우에는 처리수에서 몸체가 온전한 형태로 사망한 개체가 다수 관찰되었다 [표 3].

[표3] 소규모 모의 BMWS 실험(8회차)에서 분쇄장치 통과 후 동물플랑크톤 주요 분류군 사망 형태

분류군	분쇄장치 통과 전	분쇄장치 통과 후	형태 비교
요각류 (Copepoda)			몸체가 절단되는 형태
따개비 유생 (Cirriped larvae)			
요각류 유생 (Copepod nauplii)			
이매폐류 유생 (Bivalve larvae)			몸체가 온전한 형태

3.2. 고형물 분쇄 평가

모든 Test Dust는 처리 전에 비해 처리 후 입자 크기 분포가 다소 작아지는 경향을 나타내었다 [그림 1].



[그림 1] ‘분쇄장치’를 통과 전/후 a) A2 Fine Dust, b) A3 Midium Dust, c) A4 Coarse Dust의 크기별 입자 분포(%) 및 입자 크기 가중분포(%)

A2의 분쇄 처리 전/후 평균 크기는 $8.42 \pm 9.56 \mu\text{m}$ 에서 $8.10 \pm 8.03 \mu\text{m}$ 로 3.8% 작아졌으며, A3의 분쇄 처리 전/후 평균 크기는 $14.2 \pm 11.0 \mu\text{m}$ 에서 $12.6 \pm 9.65 \mu\text{m}$ 로 11 % 작아졌다. 또한 A4의 분쇄 처리 전/후 평균 크기는 $19.1 \pm 22.6 \mu\text{m}$ 에서 $15.6 \pm 17.8 \mu\text{m}$ 로 18 % 작아졌다. D₂₀, D₅₀, D₉₀은 입자크기 누적 백분위 수 20%, 50%, 90%를 나타낸다. 표 4에서 A2는 처리 후 D₉₀ 크기가 작아지지만 D₂₀, D₅₀ 입자 크기가 커졌다. A3는 처리 후 D₂₀, D₅₀, D₉₀ 모두 입자 크기가 작아졌다. A4의 경우 처리수 D₂₀은 크기가 커졌고 D₅₀, D₉₀은 크기가 작아졌다. 각 실험수의 TSS 농도는 A2 ; $317 \pm 4.12 \text{ mg L}^{-1}$, A3 ; $541 \pm 18.0 \text{ mg L}^{-1}$, A4; $453 \pm 19.8 \text{ mg L}^{-1}$ 을 나타내었다. 처리수에서 TSS 농도는 A2 ; $318 \pm 15.3 \text{ mg L}^{-1}$, A3 ; $485 \pm 7.34 \text{ mg L}^{-1}$, A4; $339 \pm 15.0 \text{ mg L}^{-1}$ 을 나타내었다. 상대적으로 입자 크기가 작은 A2에서 입자 크기가 큰 A4로 갈수록 처리 수의 TSS 농도가 실험수보다 낮게 측정되었다.

[표 4] 입자 크기(μm)백분위수 변화, TW : 실험수; Tr : 처리수

	D ₂₀		D ₅₀		D ₉₀	
	TW	Tr	TW	Tr	TW	Tr
A2	2.18	2.44	4.87	5.16	25.1	20.0
A3	3.65	3.45	8.18	6.88	30.7	23.1
A4	4.10	4.40	12.2	10.9	46.0	38.7

4. 결론

BWMS의 처리 효율을 향상시키고 고탁도 환경에서 안정적인 운전 성능을 확보하기 위해서 기존의 여과장치를 대체 할 수 있는 새로운 타입의 분쇄장치 성능을 확인해 보았다. BWMS 전처리장치로서 분쇄장치가 활용되기 위해서 부유물질(생물)을 높은 수율로 제거해야 하며, 유입된 부유물질에 의한 생물 제거율 저하 영향이 낮아야 한다. 8 차례의 분쇄장 치 모의 실험에서 모두 $\geq 90\%$ 의 생물 제거 효율을 보였으며, Dust를 이용한 실험 평가에서도 확인할 수 있었다. 또한 IMO 기준에 준해서 실험수를 조성했음에도 불구하고 연구를 수행 하는 동안 생물 및 고형물에 의한 막힘 현상이 발생하지 않았다. 추가적인 실제 규모(full scale)의 검증 연구가 필요하지만, $\geq 50 \mu\text{m}$ 생물 그룹을 처리하기 위한 BWMS 전처리 장치 대체 기술 연구 자료로 활용 가능할 것으로 판단된다.

참고문헌

- [1] Hyung-Gon Cha, Min-Ho Seo, Heon-Young Lee, JiOhyun Lee, Dong-Sup Lee, Kyounggon Shin, Keun-Huyung Choi, "Enhancing the efficacy of electrolytic chlorination for ballast water treatment by

adding carbon dioxide", Marine Pollution Bulletin, 95(1), pp 315–323, 6월, 2015년

- [2] IMO, List of ballast water management systems that make use of active substances which received basic and final approval (BWM.2/Circ.34/Rev.7). International Maritime Organization. 2019년.
- [3] Yanqun Pan, Fang Shen and Xaiodao Wei, "Fusion of Landsat-8/OLI and GOCI Data for Hourly Mapping of Suspended Particulate Matter at High Spatial Resolution: A Case Study in the Yangtze (Changjiang) Estuary", Multidisciplinary Digital Publishing Institute, 10(2), pp 158, 11월, 2017년.